

MeV 質量のアクシオン に関する理論的研究

M2 岩井 喬也

共同研究者: 佐藤亮介(准教授) 山中拓夢(D1)

2025/2/25 理論物理学生セミナー

アウトライン

- 1.強いCP問題とアクシオン
- 2.MeVアクシオンのモデル
- 3.EFTを用いた解析
- 4.まとめ

強いCP問題とアクシオン

標準模型におけるCPを破る源は2つ

1. 電弱理論から出てくる小林・益川位相 δ

$$\delta \sim O(1) \quad (\text{B中間子の崩壊から})$$

2. QCDから出てくる θ 項

$$\theta \lesssim 10^{-10} \quad (\text{中性子EDMから})$$

なぜこんなにも差があるのか？ → 強いCP問題

これを説明できるメカニズムがアクシオン！！！！

強いCP問題とアクシオン

アクシオンは $U(1)_{PQ}$ 対称性の擬南部-ゴールドストーンボゾン

Peccei, Quinn (1977)

$$\mathcal{L} = \frac{1}{2}(\partial_\mu a)^2 + \frac{g_s^2}{32\pi^2} \left(\theta + \frac{a}{f_a} \right) G_{\mu\nu a} \tilde{G}^{\mu\nu a}$$

ポテンシャルが
最小の点

$$\theta + \frac{a}{f_a} = 0$$



強いCP問題が解決！！

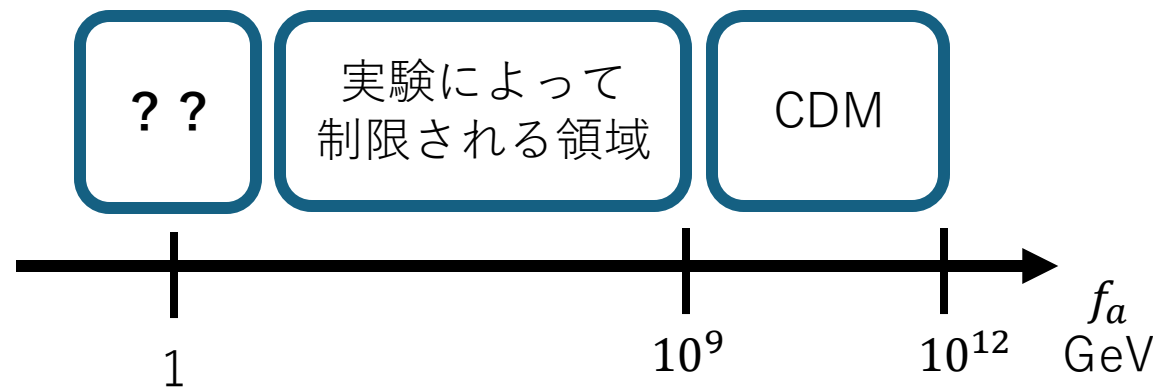
多くの研究では

$$10^9 \text{ GeV} \leq f_a \leq 10^{12} \text{ GeV}$$

他に選択肢がないか？



$$f_a \sim 1 \text{ GeV}$$



MeVアクシオンの模型を構築する上で**厳しい制限**がいくつかある

- ・ 荷電K中間子の崩壊
- ・ クォーコニウムの崩壊
- ・ 荷電 π 中間子の崩壊
- ・ ビームダンプ実験とダークフォトンの探索

ビームダンプの実験 (E787 Collaboration)

$$\text{Br}(K^+ \rightarrow \pi^+ (a \rightarrow \text{invisible})) \lesssim 4.5 \times 10^{-11}$$

アクシオンが光子^{だけ}と結合しているとアクシオンは長寿命^{になる}

$$\text{Br}(K^+ \rightarrow \pi^+ (a \rightarrow e^+ e^-)) \lesssim 10^{-6} - 10^{-5}$$

アクシオンが電子と結合しているとアクシオンが短寿命^{になり}
ビームダンプの制限から逃れることができる

クォーコニウムの崩壊からの制限

MeVアクシオン | 5

重いクォークがPQ電荷をもつとする

(F. Wilczek, Phys. Rev. Lett. 39 (1977) 1304)

$$\Gamma(J/\psi \rightarrow \gamma a) = \Gamma(J/\psi \rightarrow \mu^+ \mu^-) \frac{Q_c^2 \lambda_c^2}{2\pi\alpha} C_{J/\psi} \quad C \sim \mathcal{O}(1)$$

$$\Gamma(\Upsilon \rightarrow \gamma a) = \Gamma(\Upsilon \rightarrow \mu^+ \mu^-) \frac{Q_b \lambda_b^2}{2\pi\alpha} C_\Upsilon \quad \lambda_q \sim \mathcal{O}\left(\frac{m_q}{f_a}\right)$$

実験で測られている制限

$$\text{Br}(J/\psi \rightarrow \gamma(a \rightarrow e^+ e^-)) \lesssim 10^{-3}$$

$f_a \sim 1\text{GeV}$ 制限を満たそうとするとPQ電荷は非常に小さくなる

➡ 軽い第一世代のクォークのみがアクシオンと結合する

荷電パイ中間子の崩壊からの制限

MeVアクション | 6

$$\Gamma(\pi^+ \rightarrow e^+ \nu_e a) = \frac{\cos^2 \theta_c}{384\pi^3} G_F^2 m_\pi^5 \theta_{a\pi}^2$$

混合角の理論的な予想 $\theta_{a\pi} \sim \mathcal{O}\left(\frac{f_\pi}{f_a}\right) \sim (0.5 - 10) \times 10^{-2}$ 二桁小さい!

実験で測られている
混合角の上限

$$\theta_{a\pi} \lesssim (0.5 - 0.7) \times 10^{-4}$$

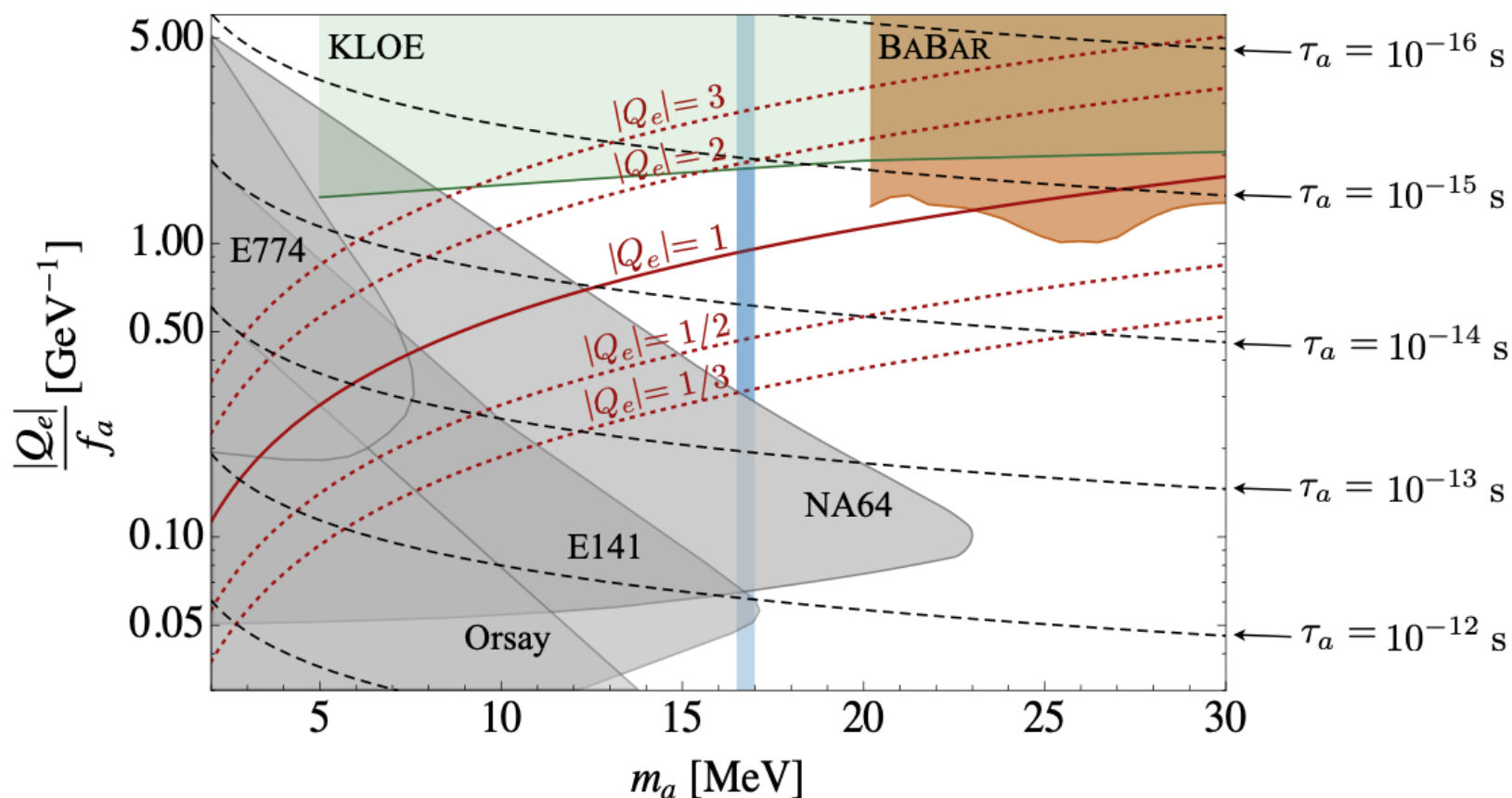
SINDRUM collaboration,
Phys. Lett. B 175 (1986) 101

カイラルラグランジアン
を用いた計算

$$\theta_{a\pi} \approx -\frac{(Q_u m_u - Q_d m_d) f_\pi}{(m_u + m_d) f_a}$$

$$\frac{m_u}{m_d} = 0.462 \pm 0.020 \quad (\text{PDG 2024})$$

$\frac{Q_u}{Q_d} = 2$ であれば小さな値 $\theta_{a\pi} \approx \frac{4Q_d}{3} \frac{f_\pi}{f_a} \left(\frac{1}{2} - \frac{m_u}{m_d} \right) \approx 0$



From talk by D. S. M. Alves
(2020)

PQ電荷が小さいとアクシオンが長寿命→ビームダンプ実験から制限

PQ電荷が大きいとダークフォトンの実験 $e^+e^- \rightarrow \gamma (A' \rightarrow e^+e^-)$ から制限

$f_a \sim 1 \text{ GeV}$ だと**GeVスケール**でUVの理論が現れる

$$\mathcal{L} \supset -y_u \Phi_u u_L u_R^c - y_d \Phi_d d_L d_R^c - y_e \Phi e_L e_R^c + h.c. - V(\Phi_u, \Phi_d, \Phi)$$

PQ対称性が破れると第一世代のフェルミオンが**質量を持つ**

$$\langle \Phi_u \rangle = \frac{f_u}{\sqrt{2}} = \frac{m_u}{y_u} \quad \langle \Phi_d \rangle = \frac{f_d}{\sqrt{2}} = \frac{m_d}{y_d} \quad \langle \Phi \rangle = \frac{f_e}{\sqrt{2}} = \frac{m_e}{y_e}$$

Φ がSU(2)の電荷を持つ場合, **Zボゾンの崩壊幅に影響**

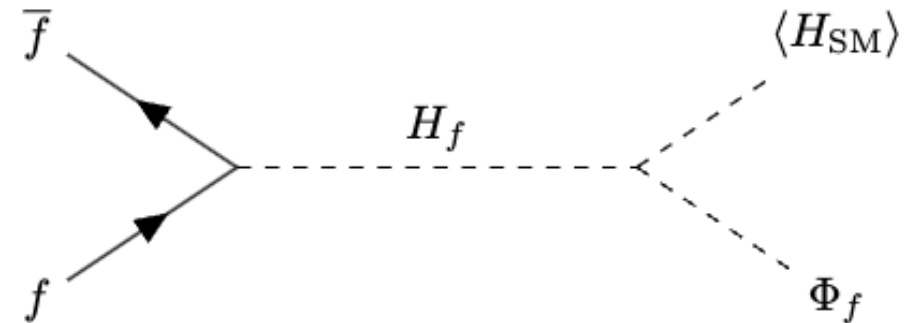
➡ Φ は**SU(2)の電荷をもてない**

TeVスケール $\mathcal{L}_{\text{PQ}}^{\Lambda=\text{EW}} \supset -(Y_u H_u Q_1 u_R^c + Y_d H_d Q_1 d_R^c + Y_e H_e L_1 e_R^c + h.c.)$
 $-(A_u \Phi_u^\dagger H_u H_{\text{SM}}^\dagger + A_d \Phi_d^\dagger H_d H_{\text{SM}}^\dagger + A_e \Phi_e^\dagger H_e H_{\text{SM}}^\dagger + h.c.)$

GeVスケールの有効理論を考えると

$$\mathcal{L}_{\text{PQ}}^{\Lambda=\text{GeV}} \supset -(y_u \Phi_u u_L u_R^c + y_d \Phi_d d_L d_R^c + y_e \Phi_e e_L e_R^c + h.c.)$$

Particles	H	H_u	$H_{d,e}$	u_R	d_R	e_R	Φ_f
$SU(2)_L$	2	2	2	1	1	1	1
$U(1)_Y$	$\frac{1}{2}$	$-\frac{1}{2}$	$\frac{1}{2}$	$\frac{2}{3}$	$-\frac{1}{3}$	-1	0
$U(1)_{\text{PQ}}$	0	$-Q_u$	$-Q_{d,e}$	Q_u	Q_d	Q_e	$-Q_f$

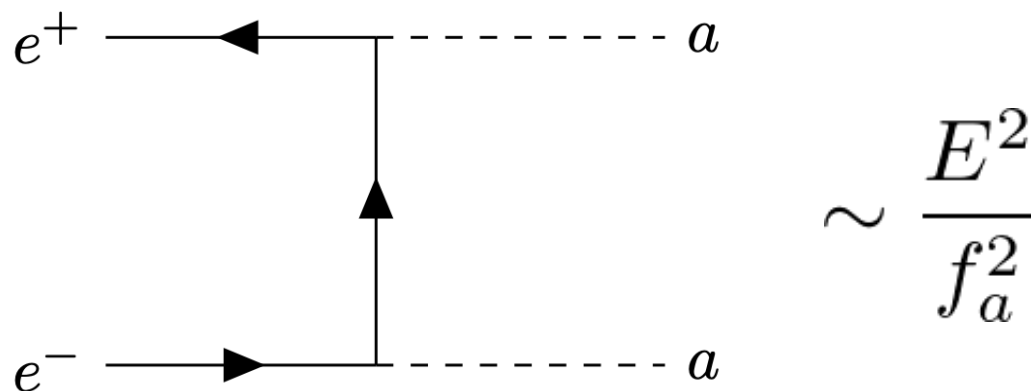


$$y_f \equiv Y_f \frac{A_f \langle H_{\text{SM}} \rangle}{m_{H_f}^2}$$

UVの理論は**パラメータが多く**解析が大変

100個くらいの
パラメータ

しかしGeVスケールにUVの理論があるから
新粒子は**GeVスケールより手前で現れるはず**



パラメータを減らして**新粒子を解析する術**はないか？

本研究 一番軽いスカラー粒子の自由度のみで書かれた**EFT**を解析した

$$\mathcal{L} \supset -y_u \Phi_u u_L u_R^c - y_d \Phi_d d_L d_R^c - y_e \Phi e_L e_R^c + h.c. - V(\Phi_u, \Phi_d, \Phi)$$

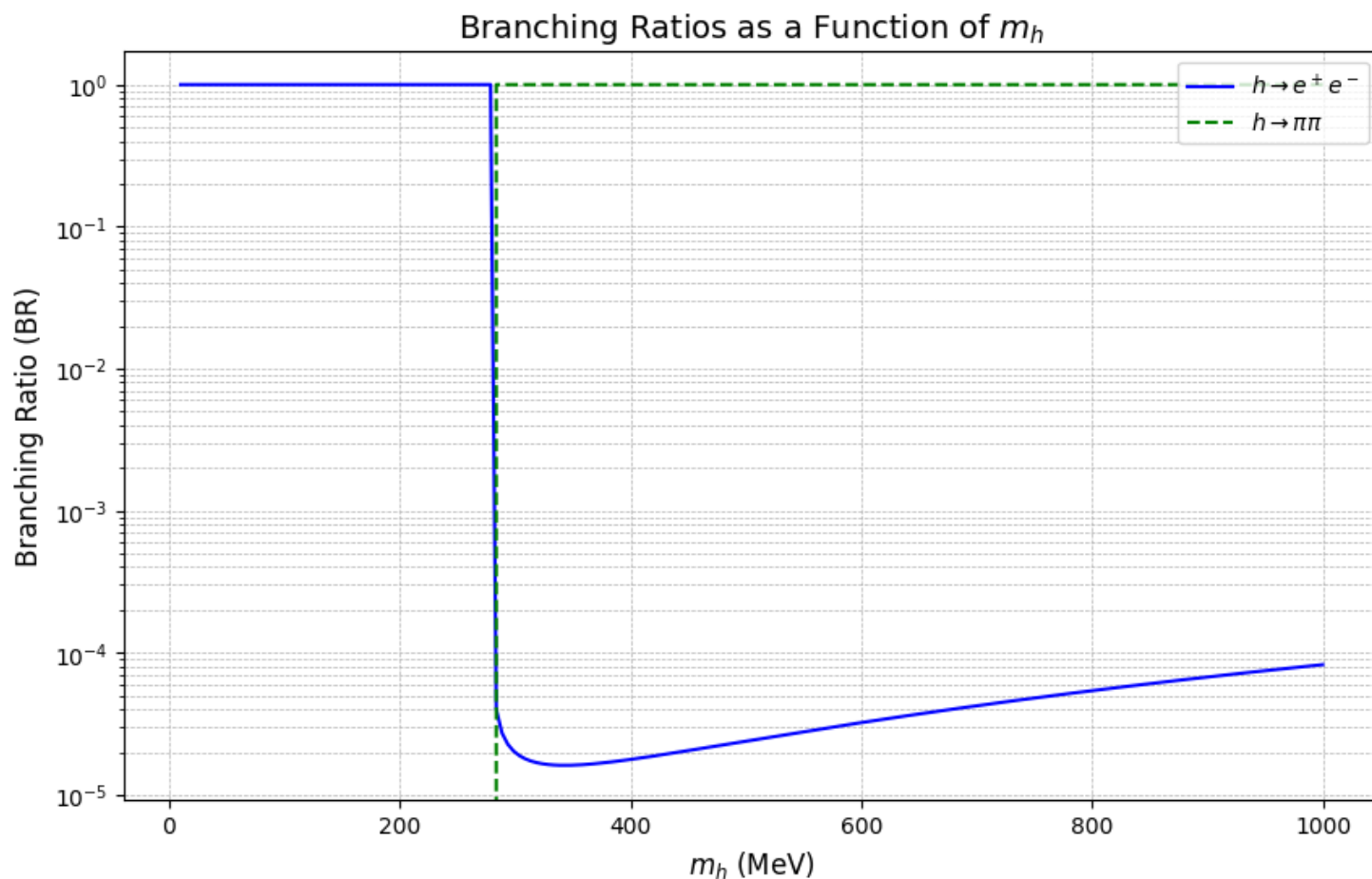
u, d, e のPQ電荷をそれぞれ $2, 1, \frac{1}{2}$ ととる

このうち**一つの複素スカラー場**が他より軽いとすると, その場を用いて**EFT**が組める

$$\mathcal{L}_{\text{eff}} = -\frac{4m_u}{f_a^4} \Phi^4 u_L u_R^c - \frac{2m_d}{f_a^2} \Phi^2 d_L d_R^c - \frac{\sqrt{2}m_e}{f_a} \Phi e_L e_R^c - \lambda(|\Phi|^2 - \frac{f_a^2}{2})^2$$

PQ対称性が破れると $\Phi = \left(\frac{f_a + h}{\sqrt{2}} \right) \exp\left(i \frac{a}{f_a}\right)$

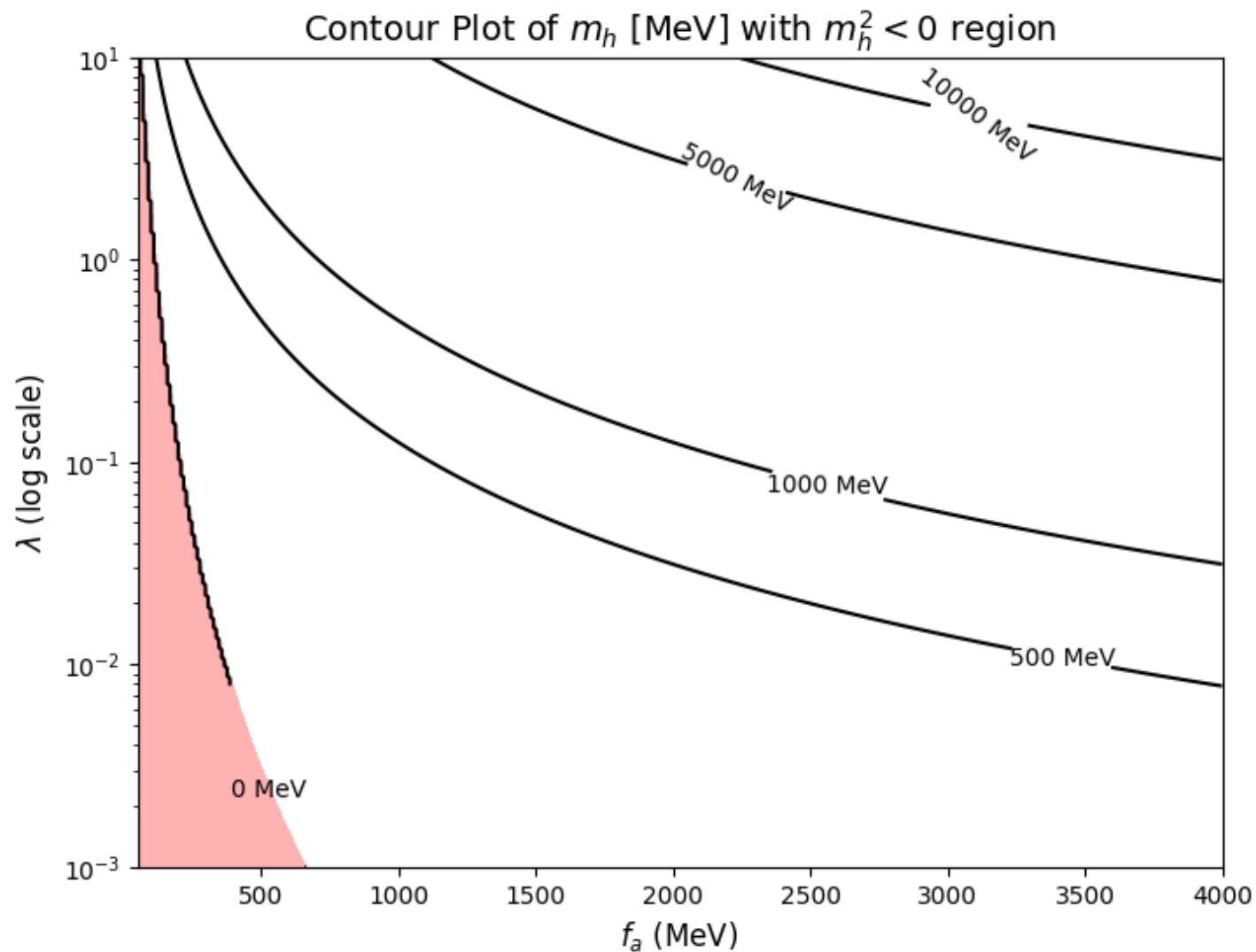
hの質量が小さい範囲では主に電子陽電子対とパイオン2つへ崩壊する



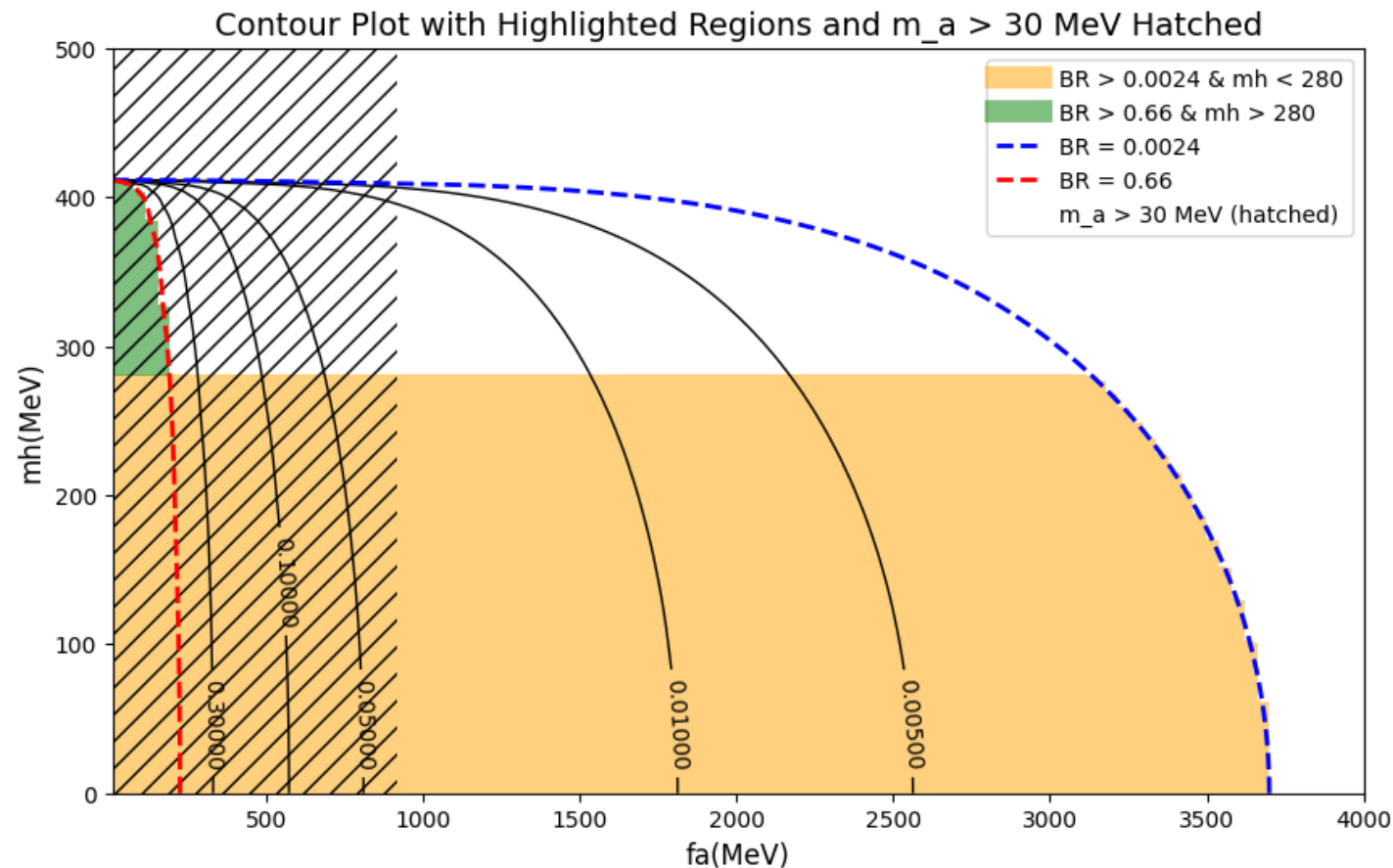
$m_h \sim 280\text{MeV}$ 付近で急激に
崩壊モードが変わる

赤で塗られている領域

hの質量が虚数



$\eta' \rightarrow \eta h$ の分岐比



斜線の領域

S. Nakagawa et.al.

B中間子の崩壊からの制限

緑の領域

PDG 2024

$$\text{Br}(\eta' \rightarrow \eta(h \rightarrow \pi\pi)) \lesssim 0.67$$

からの制限

黄色の領域

$$\text{Br}(\eta' \rightarrow \eta(h \rightarrow e^+e^-)) \lesssim 2.4 \times 10^{-3}$$

からの制限

まとめと展望

まとめ

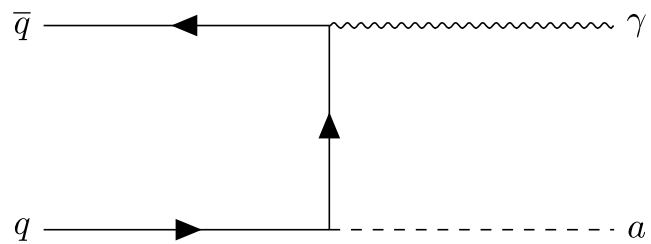
- ・ 特定のPQ電荷をフェルミオンに割り振ることで
MeV質量のアクシオンの模型を実現できる
- ・ MeVアクシオンのモデルのEFTを考えた
- ・ h の質量や崩壊モードを調べ、 η' の崩壊から
 h の質量が軽いところの制限をつけた

今後の展望

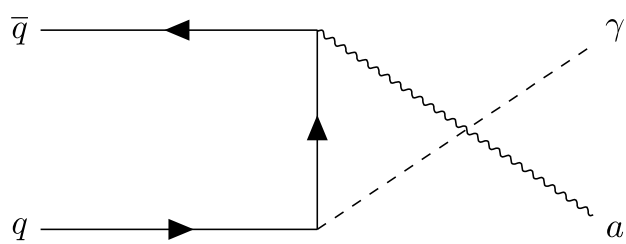
- ・ $K_L \rightarrow \pi^+ \pi^- a$ の崩壊からアクシオンの模型を制限
- ・ 核子内のクォークの質量の解析

Back up

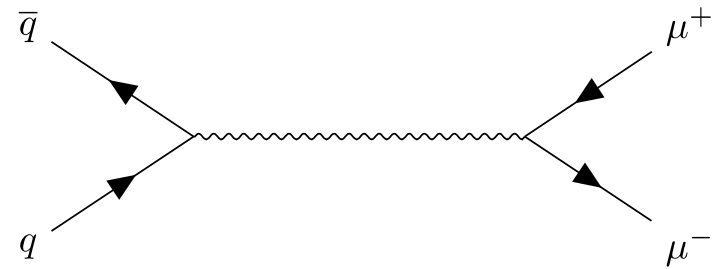
Wilczek公式



+

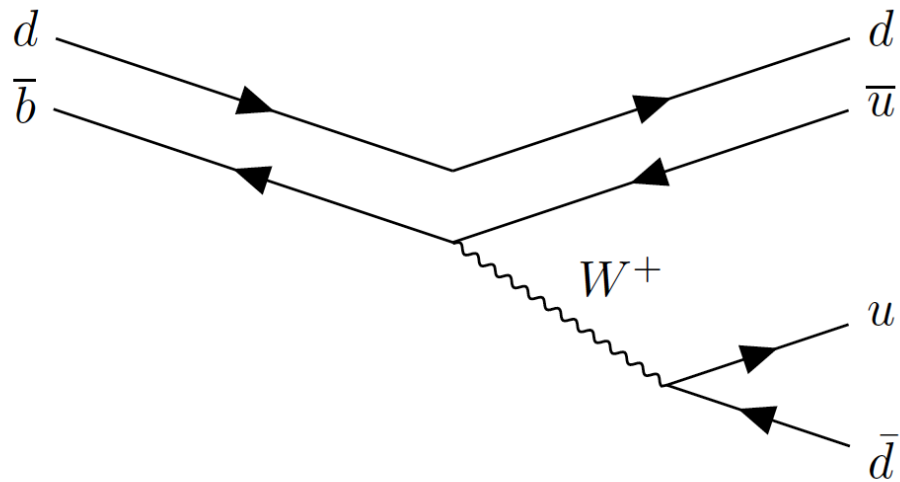


$$q\bar{q} \rightarrow a\gamma$$

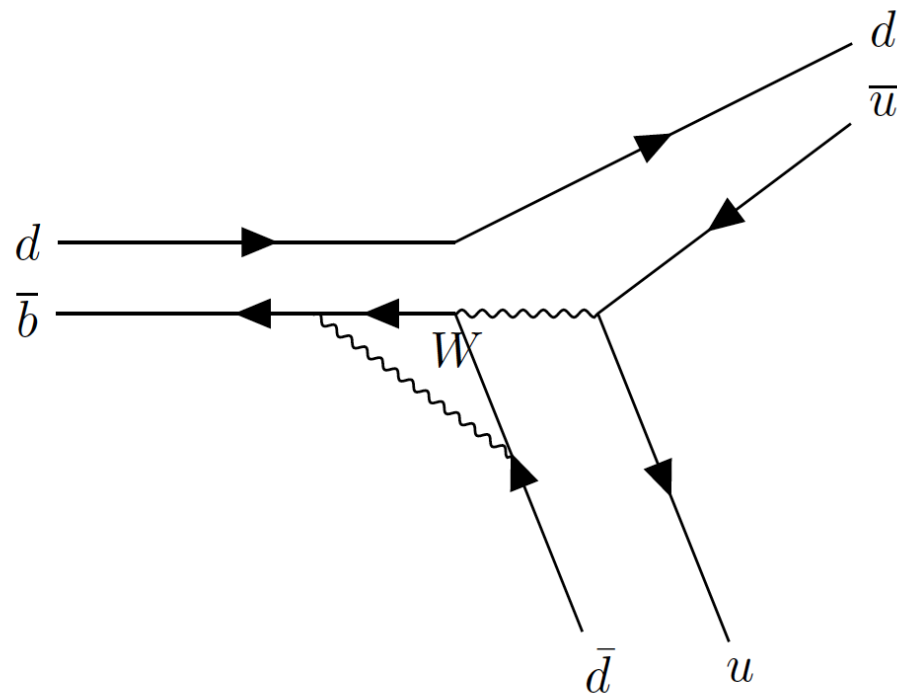


$$q\bar{q} \rightarrow \mu^+\mu^-$$

B中間子



$V_{ub}^* V_{ud}$ に比例するダイアグラム



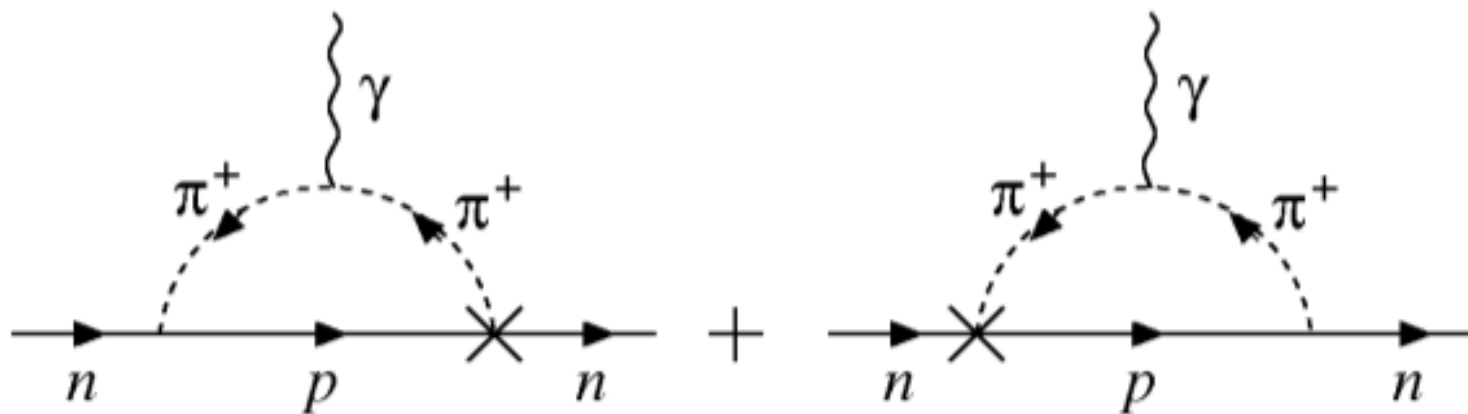
$V_{tb}^* V_{td}$ に比例するダイアグラム

➡ Cross termがJarlskog不変量に比例する

中性子EDM

$$\mathcal{L}_{\pi\bar{N}N} = -i\sqrt{2}\frac{g_A m_N}{f_\pi}(\pi^+ \bar{p}\gamma_5 n + \pi^- \bar{n}\gamma_5 p)$$

$$\mathcal{L}_{\theta\pi\bar{N}N} = \sqrt{2}\frac{\theta c_+ \tilde{m}}{f_\pi}(\pi^+ \bar{p}n + \pi^- \bar{n}p) \quad g_A = 1.27, c_+ = 1.7, \tilde{m} = 1.2\text{MeV}$$



➡ $d_n = 3.2 \times 10^{-16} \theta e\text{cm}$

一番簡単なモデル (KSVZアクシオン)

J.E.Kim Phys. Rev. Lett., 43:103, 1979.

M.A.Shifman et.al. Nucl. Phys. B, 166:493–506, 1980

$$\mathcal{L} = |\partial_\mu \Phi|^2 - \lambda \left(|\Phi|^2 - \frac{f_a^2}{2} \right)^2 + i\bar{\psi}\not{\partial}\psi - \left[\kappa \Phi \psi_R^\dagger \psi_L + \text{h.c.} \right]$$

この模型には**2つの対称性**がある

PQ対称性

$$\Phi \rightarrow \Phi' = e^{i\alpha} \Phi$$

$$\psi_L \rightarrow \psi'_L = e^{-i\frac{1}{2}\alpha} \psi_L$$

$$\psi_R \rightarrow \psi'_R = e^{+i\frac{1}{2}\alpha} \psi_R$$

もう一つの**U(1)対称性**

$$\psi_L \rightarrow e^{i\beta} \psi_L$$

$$\psi_R \rightarrow e^{i\beta} \psi_R$$



PQ対称性の破れの南部ゴールドストーンボゾンとして**アクシオン**が現れる。

PQ対称性が破れた後,

$$\Phi = \frac{1}{\sqrt{2}}(f_a + h) \exp\left(\frac{ia}{f_a}\right)$$

$$\psi_L = \tilde{\psi}_L \exp\left(-\frac{1}{2} \frac{ia}{f_a}\right) \quad \psi_R = \tilde{\psi}_R \exp\left(+\frac{1}{2} \frac{ia}{f_a}\right)$$

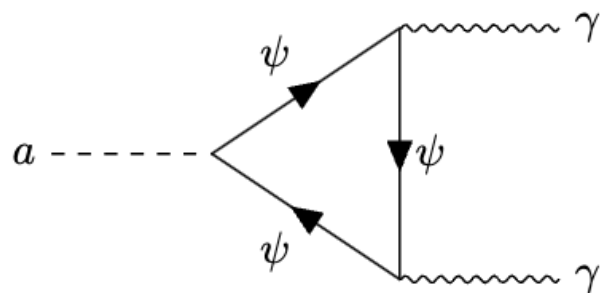
フェルミオンの運動項から

$$\mathcal{L} \supset i\bar{\psi}\not{\partial}\psi = i\bar{\tilde{\psi}}\not{\partial}\tilde{\psi} - \frac{1}{f_a}(\partial_\mu a)j^\mu$$

$$j^\mu \equiv -\frac{1}{2}\bar{\tilde{\psi}}\gamma^\mu P_L \tilde{\psi} + \frac{1}{2}\bar{\tilde{\psi}}\gamma^\mu P_R \tilde{\psi} \quad (\text{ネーターカレント})$$

フェルミオンが持つU(1)対称性をゲージ化すると

$$\mathcal{L} = |\partial_\mu \Phi|^2 - \lambda \left(|\Phi|^2 - \frac{f_a^2}{2} \right)^2 + i\bar{\psi} \not{D} \psi - \left[\kappa \Phi \psi_R^\dagger \psi_L + \text{h.c.} \right]$$



フェルミオンとの結合から

$$\mathcal{L}_{\text{eff}} = \frac{1}{2} (\partial_\mu a)^2 + \frac{e^2}{16\pi^2} a F_{\mu\nu} \tilde{F}^{\mu\nu}$$

フェルミオンが持つU(1)対称性はより大きい群に拡張できる

SU(3)に拡張すると
$$\mathcal{L}_{\text{eff}} = \frac{1}{2} (\partial_\mu a)^2 + \frac{g_s^2}{16\pi^2} a \text{Tr}[\tilde{G}_{\mu\nu} G^{\mu\nu}]$$

アクシオンのポテンシャル

$$\mathcal{L}_\theta \supset \left(\theta + \frac{a}{f_a} \right) \frac{g_s^2}{16\pi^2} \text{Tr}[\tilde{G}_{\mu\nu} G^{\mu\nu}]$$

実現されるアクシオンはこのポテンシャルの**最小値からのズレ**

$$a = \langle a \rangle + a_{\text{phys}} \qquad \theta + \frac{\langle a \rangle}{f_a} = 0$$

➡ θ 項が場（アクシオン）に変わること**で強いCP問題が解決する！**

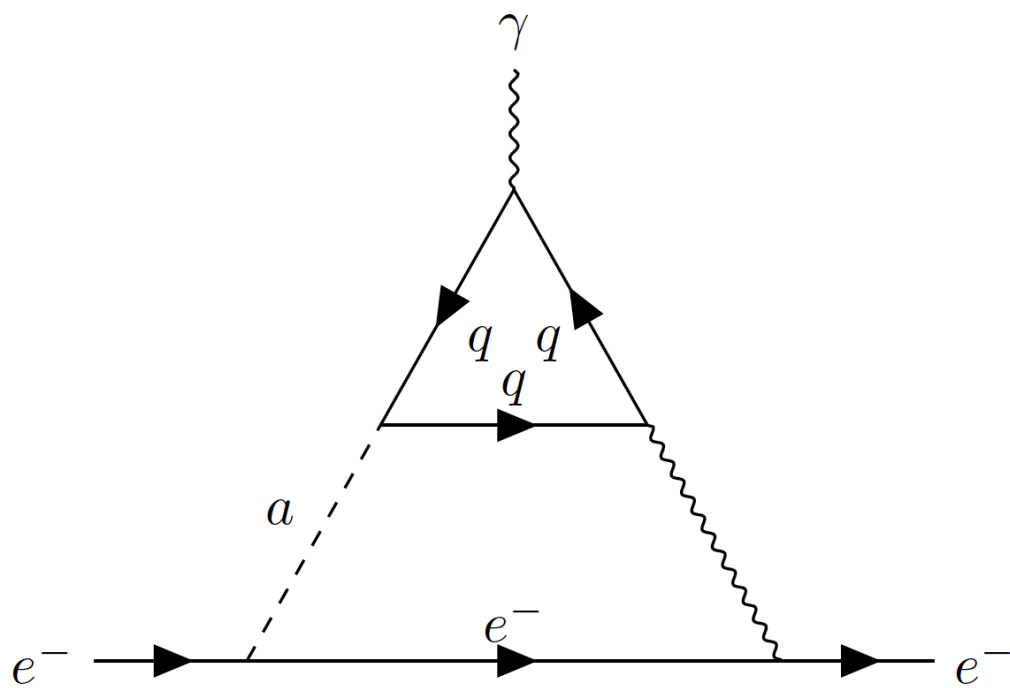
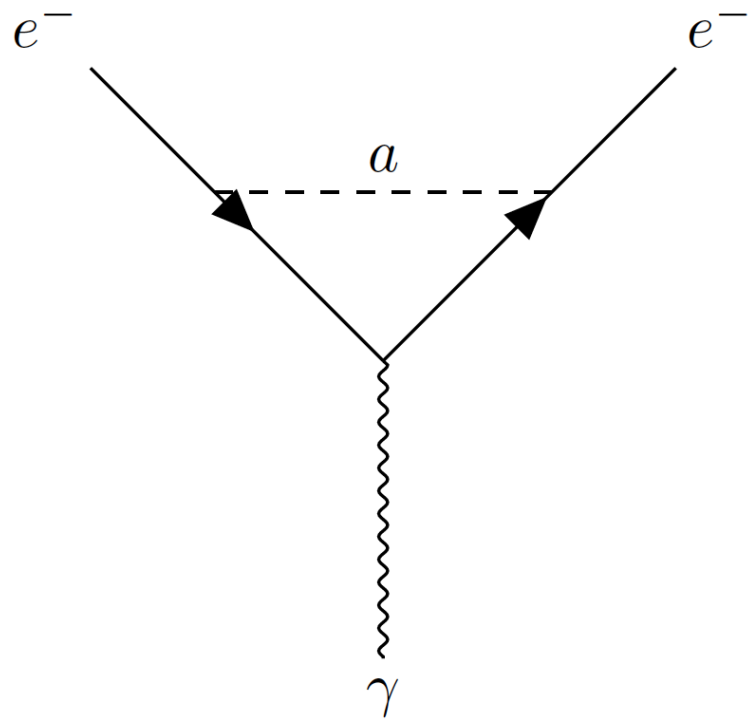
PQ電荷

$$\theta_{a\pi} \simeq \frac{m_u Q_u - m_d Q_d}{m_u + m_d} \frac{f_\pi}{f_a} + \frac{Q_s}{2} \frac{m_u - m_d}{m_u + m_d} \frac{f_\pi}{f_a} \\ \sim \mathcal{O}(10^{-2})$$

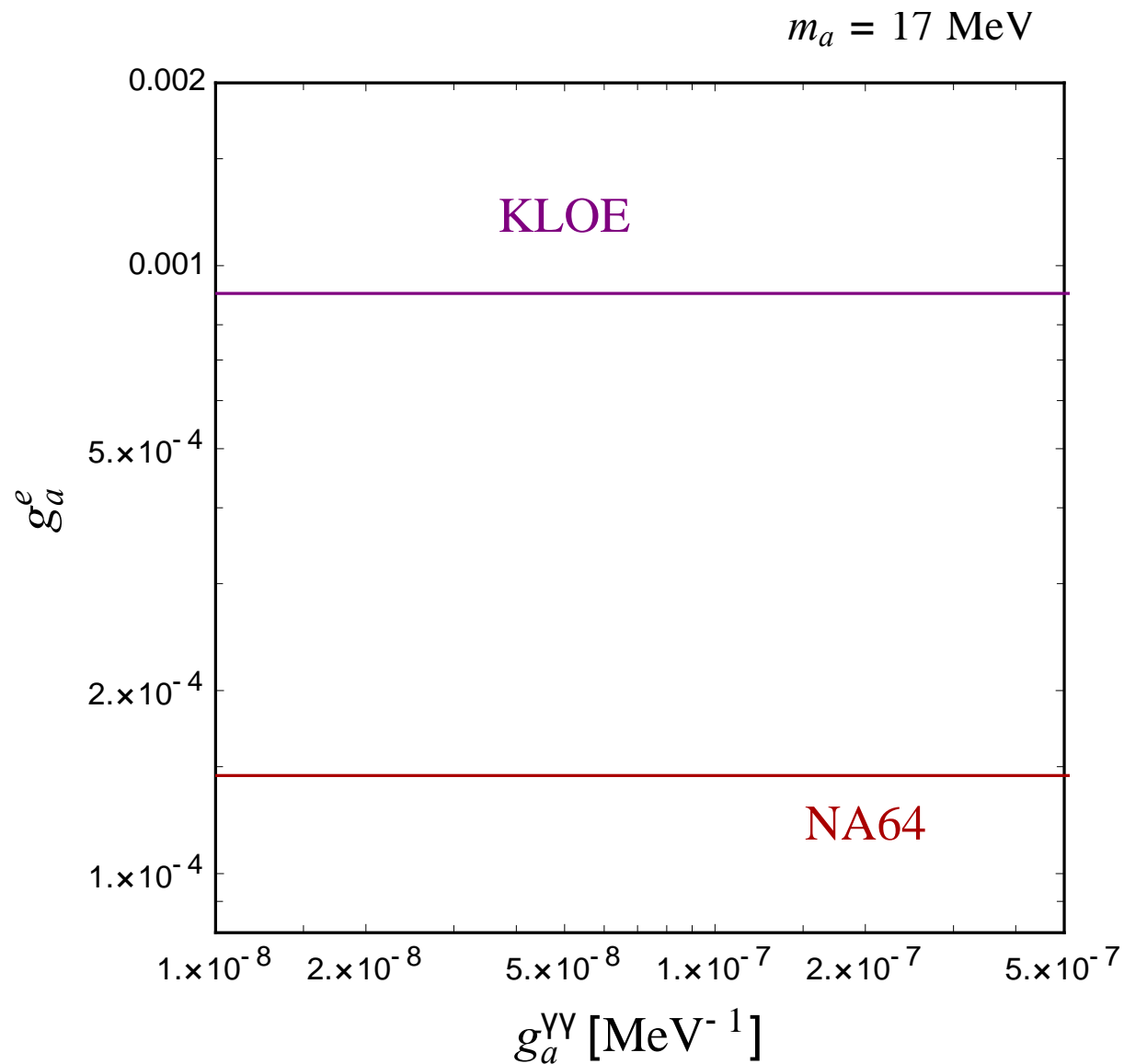
$$\theta_{a\pi} \lesssim (0.5 - 0.7) \times 10^{-4}$$

→ $Q_s \lesssim 10^{-2}$

電子のEDM



電子のEDM



Jia Liu et.al.

$$\frac{Q_e}{Q_d} = 0.28 - 2.$$

アクションのポテンシャル

$$\begin{aligned} & \exp \left[- \int d^4x V \left(\theta + \frac{a}{f_a} \right) \right] \\ &= \int \mathcal{D}A_\mu \exp \left[- \int d^4x \left\{ -\frac{1}{4} G_{\mu\nu}^a G_{\mu\nu}^a + i \frac{g^2}{32\pi^2} \left(\theta + \frac{a}{f_a} \right) G_{\mu\nu}^a \tilde{G}_{\mu\nu}^a \right\} \right] \\ &\leq \left| \int \mathcal{D}A_\mu \exp \left[- \int d^4x \left\{ -\frac{1}{4} G_{\mu\nu}^a G_{\mu\nu}^a + i \frac{g^2}{32\pi^2} \left(\theta + \frac{a}{f_a} \right) G_{\mu\nu}^a \tilde{G}_{\mu\nu}^a \right\} \right] \right| \\ &\leq \int \mathcal{D}A_\mu \left| \exp \left[- \int d^4x \left\{ -\frac{1}{4} G_{\mu\nu}^a G_{\mu\nu}^a + i \frac{g^2}{32\pi^2} \left(\theta + \frac{a}{f_a} \right) G_{\mu\nu}^a \tilde{G}_{\mu\nu}^a \right\} \right] \right| \\ &\leq \int \mathcal{D}A_\mu \exp \left[- \int d^4x \left\{ -\frac{1}{4} G_{\mu\nu}^a G_{\mu\nu}^a \right\} \right] \\ &\leq \exp \left[- \int d^4x V(0) \right] \end{aligned}$$

$$V(0) \leq V \left(\theta + \frac{a}{f_a} \right)$$

アクシオンの質量

$$\mathcal{L} = \frac{1}{2}(\partial_\mu a)^2 + \frac{g_s^2}{32\pi^2} \frac{a}{f_a} G_{\mu\nu a} \tilde{G}^{\mu\nu a}$$

$$m_a^2 \propto \langle 0 | G_{\mu\nu a} \tilde{G}^{\mu\nu a} G_{\rho\sigma b} \tilde{G}^{\rho\sigma b} | 0 \rangle$$

カイラルラグランジアンでは

$$m_a^2 = \frac{\partial^2 V}{\partial a^2} \quad \rightarrow \quad m_a^2 \approx \frac{m_u m_d}{(m_u + m_d)^2} \frac{m_\pi^2 f_\pi^2}{f_a^2}$$

EFT

$$\begin{aligned} & (-Y_u h_u Q_1 u_R^c - A_u \Phi_u^\dagger H_u H_{SM}^\dagger + h.c.) - m_W^2 H_u^\dagger H_u \\ &= \underbrace{-m_W^2 \left| H_u + \frac{1}{m_W^2} (Y_u Q_1 u_R^c A_u \Phi_u^\dagger H_{SM}^\dagger)^\dagger \right|^2}_{\text{Gaussian integral}} + \frac{1}{m_W^2} \left| Y_u Q_1 u_R^c + A_u \Phi_u^\dagger H_{SM}^\dagger \right|^2 \end{aligned}$$

ガウス積分

カイラルラグランジアン

$$\frac{f_\pi^2}{4} \text{tr} \left[(D_\mu \Sigma)^\dagger D^\mu \Sigma \right] + \frac{f_\pi^2}{4} \text{tr} \left[\Sigma^\dagger \chi + \chi^\dagger \Sigma \right] - a \frac{f_\pi^2}{4N_c} (-i \ln \det \Sigma)^2$$

$$\Sigma = \exp \Pi \quad \Pi = i \frac{\sqrt{2}}{f_\pi} \begin{pmatrix} \frac{\pi^0}{\sqrt{2}} + \frac{\eta_8}{\sqrt{6}} + \frac{\eta_0}{\sqrt{3}} & \pi^+ & K^+ \\ \pi^- & -\frac{\pi^0}{\sqrt{2}} + \frac{\eta_8}{\sqrt{6}} + \frac{\eta_0}{\sqrt{3}} & K^0 \\ K^- & \bar{K}^0 & -\frac{\eta_8}{\sqrt{3/2}} + \frac{\eta_0}{\sqrt{3}} \end{pmatrix}$$

$$\chi = 2B \begin{bmatrix} \frac{4m_u}{f_a^4} \Phi^4 & & \\ & \frac{2m_d}{f_a^2} \Phi^2 & \\ & & m_s \end{bmatrix}$$

hの質量

カイラル対称性が破れた後

$$V = \lambda |\Phi|^4 - \mu^2 |\Phi|^2 - \frac{f_\pi^2}{4} \text{tr} \left[\Sigma^\dagger \chi + \chi^\dagger \Sigma \right]$$

このポテンシャルを最小値回りで展開して
カイラル対称性が破れた後のhの質量を求める

$$\Phi = \left(\frac{f_a + h}{\sqrt{2}} \right) \exp \frac{ia}{f_a} \quad \text{で展開して計算すると} \quad m_h^2 = 2\lambda f_a^2 - \frac{8m_u f_\pi^2 B}{f_a^2}$$

η と η' の崩壊

カイラルラグランジアンを用いて計算すると

$$\text{Br}(\eta \rightarrow \pi^0 h) = \frac{(2m_u - m_d)^2 B^2}{4\pi f_a^2 m_\eta \Gamma_\eta} c_{h\pi^0\eta}^2 \lambda^{\frac{1}{2}} \left(1, \frac{m_h^2}{m_\eta^2}, \frac{m_{\pi^0}^2}{m_\eta^2} \right) \quad c_{h\pi^0\eta} \equiv \frac{1}{\sqrt{3}} \cos \theta - \sqrt{\frac{2}{3}} \sin \theta$$
$$\text{Br}(\eta' \rightarrow \pi^0 h) = \frac{(2m_u - m_d)^2 B^2}{4\pi f_a^2 m_{\eta'} \Gamma_{\eta'}} c_{h\pi^0\eta'}^2 \lambda^{\frac{1}{2}} \left(1, \frac{m_h^2}{m_{\eta'}^2}, \frac{m_{\pi^0}^2}{m_{\eta'}^2} \right) \quad c_{h\pi^0\eta'} \equiv \frac{1}{\sqrt{3}} \cos \theta + \sqrt{\frac{2}{3}} \sin \theta \quad \theta \simeq -20^\circ$$
$$\lambda(a, b, c) = a^2 + b^2 + c^2 - 2ac - 2bc - 2ca$$

荷電パイオンの崩壊の制限を満たすようにとったことによって
同時にこれらの分岐比は**非常に小さな値**を取る



これらの現在測られている実験とは矛盾しない

スカラーポテンシャル

$$\begin{aligned} V_{\text{scalar}} = & A_1 H H_u \Phi_u^* + A_2 H H_d^\dagger \Phi_d + A_3 H_e H^\dagger \Phi_e^* \\ & + A_4 \Phi_u^* \Phi_d^2 + A_5 \Phi_d^* \Phi_e^2 + A_6 H_d H_e^\dagger \Phi_e^* \\ & + B_1 H H_u \Phi_d^{*2} + B_2 H H_d^\dagger \Phi_u \Phi_d^* + B_3 H H_d^\dagger \Phi_e^2 \\ & + B_4 H^\dagger H_e \Phi_d^* \Phi_e + B_5 H_u H_e \Phi_u^* \Phi_e^* + B_6 H_u H_d \Phi_u^* \Phi_d^* \\ & + B_7 H_d^\dagger H_e \Phi_d \Phi_e^* + B_8 \Phi_u \Phi_d^* \Phi_e^{*2} + B_9 H_e^2 H^\dagger H_d^\dagger \\ & + \text{h.c.} \end{aligned}$$

CKM

$$\mathcal{L}_{\text{PQ}}^{\text{Yuk}} \supset - \sum_{i=1,2,3} (\bar{Q}^i Y_u^{i1} H_u u_R^1 + \bar{Q}^i Y_d^{i1} H_d d_R^1 + \bar{L}^i Y_e^{i1} H_e e_R^1) + h.c.$$

$$\mathcal{L}_{\text{SM}}^{\text{Yuk}} \supset - \sum_{i=1,2,3} \sum_{j=2,3} \left(\bar{Q}^i Y_u^{ij} \tilde{H} u_R^j + \bar{Q}^i Y_d^{ij} H d_R^j + \bar{L}^i Y_e^{ij} H e_R^j \right) + h.c.,$$

$$M_u \equiv \frac{1}{\sqrt{2}} \begin{pmatrix} Y_u^{11} v_u & Y_u^{12} v & Y_u^{13} v \\ Y_u^{21} v_u & Y_u^{22} v & Y_u^{23} v \\ Y_u^{31} v_u & Y_u^{32} v & Y_u^{33} v \end{pmatrix} = V_{uL} \begin{pmatrix} m_u & 0 & 0 \\ 0 & m_c & 0 \\ 0 & 0 & m_t \end{pmatrix} V_{uR}^\dagger$$

$$\vec{u}_L = V_{uL} \vec{u}_L^m, \quad \vec{u}_R = V_{uR} \vec{u}_R^m, \quad V_{\text{CKM}} = V_{uL}^\dagger V_{dL}.$$

CKM

$$\bar{Q}^i Y_u^{i1} H_u u_R^1 = \overline{Q}^{m^i} (V_{u_L}^\dagger)^{ij} Y_u^{j1} H_u u_R^{1,m} = \sqrt{2} \frac{m_u}{v_u} \overline{Q}^{m^1} H_u u_R^{1,m},$$

$$(V_{u_L}^\dagger)^{ij} Y_u^{j1} = \sqrt{2} \frac{m_u}{v_u} (1, 0, 0)^T.$$

$$V_{u_L}^\dagger = \begin{pmatrix} 1 & 0 & 0 \\ 0 & c_x & s_x \\ 0 & -s_x & c_x \end{pmatrix} \begin{pmatrix} (Y_u^{j1})_{\parallel}^T \\ (Y_u^{j1})_{\perp 1}^T \\ (Y_u^{j1})_{\perp 2}^T \end{pmatrix} \quad V_{d_L}^\dagger = \begin{pmatrix} 1 & 0 & 0 \\ 0 & c_y & s_y \\ 0 & -s_y & c_y \end{pmatrix} \begin{pmatrix} (Y_d^{j1})_{\parallel}^T \\ (Y_d^{j1})_{\perp 1}^T \\ (Y_d^{j1})_{\perp 2}^T \end{pmatrix}$$

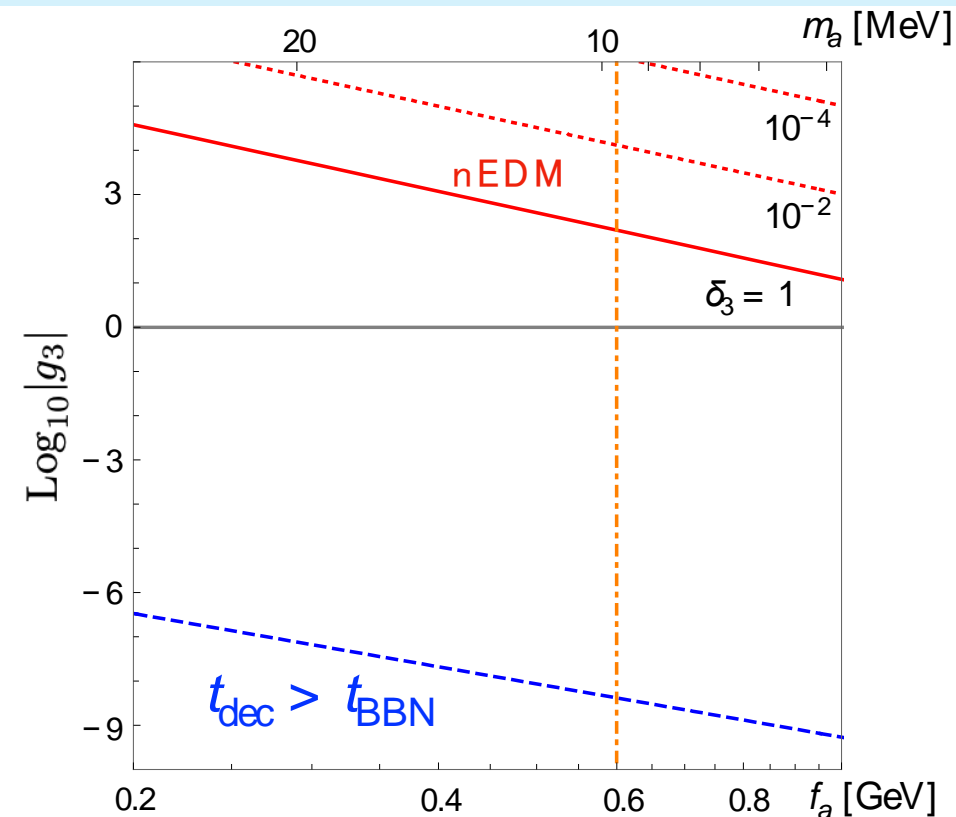
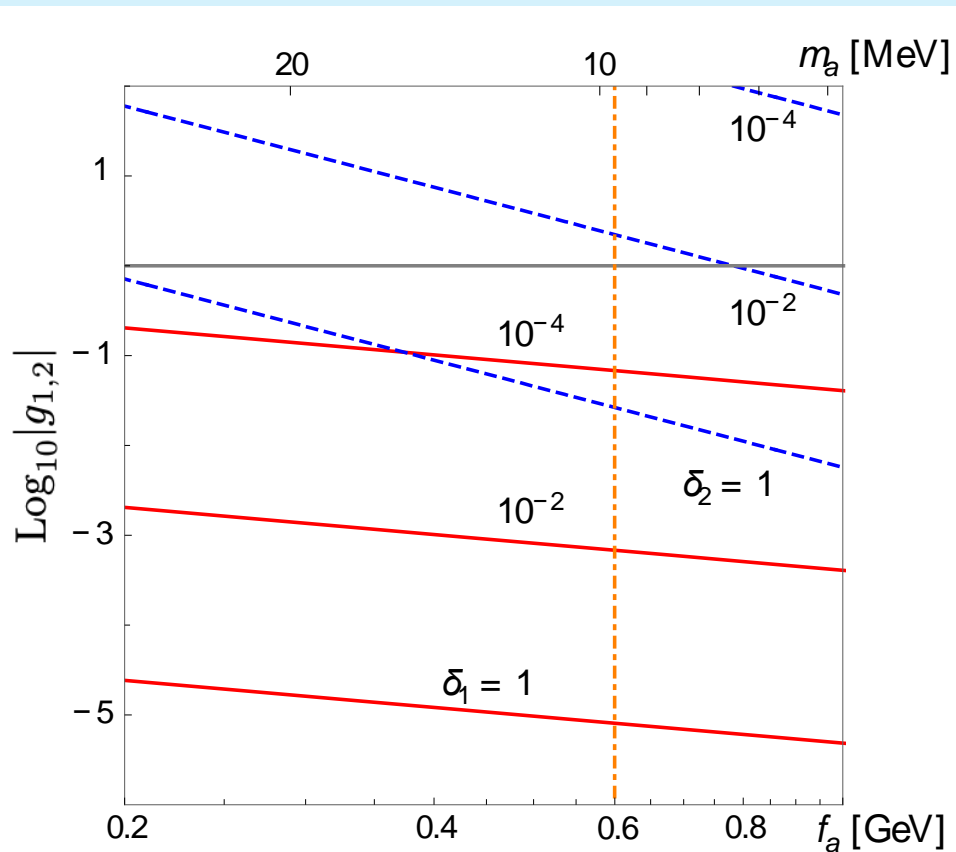
CKM

$$\begin{pmatrix} (Y_u^{j1})_{\parallel}^T \\ (Y_u^{j1})_{\perp 1}^T \\ (Y_u^{j1})_{\perp 2}^T \end{pmatrix} = \begin{pmatrix} c_{13} & 0 & s_{13} \\ 0 & 1 & 0 \\ -s_{13} & 0 & c_{13} \end{pmatrix}, \quad \begin{pmatrix} (Y_d^{j1})_{\parallel}^T \\ (Y_d^{j1})_{\perp 1}^T \\ (Y_d^{j1})_{\perp 2}^T \end{pmatrix} = \begin{pmatrix} c_{12} & -s_{12} & 0 \\ s_{12} & c_{12} & 0 \\ 0 & 0 & 1 \end{pmatrix},$$

$$Y_u^{j1} = \sqrt{2} \frac{m_u}{v_u} \begin{pmatrix} c_{13} \\ 0 \\ s_{13} \end{pmatrix}, \quad Y_d^{j1} = \sqrt{2} \frac{m_d}{v_d} \begin{pmatrix} c_{12} \\ -s_{12} \\ 0 \end{pmatrix}$$

ドメインウォール

S. Nakagawa et.al.



$$\mathcal{L}_{\cancel{PQ}} = \sum_{f=u,d,e} \left(g_1 \frac{(HH^\dagger)^2 \Phi_f}{M_{\text{Pl}}} + g_2 \frac{HH^\dagger \Phi_f^3}{M_{\text{Pl}}} + g_3 \frac{\Phi_f^5}{M_{\text{Pl}}} + \dots \right) + \text{h.c.},$$